

与原参数化一致, 证毕。

围道积分的另一种表示形式为

$$\int_{\gamma} f(z) dz = \int_{\gamma} (u + iv)(dx + idy). \quad (2.4)$$

注意以这种形式进行具体计算时仍需指定  $x(t)$  和  $y(t)$ , 其结果与(2.2)无异。围道积分具有性质

$$\int_{-\gamma} f(z) dz = - \int_{\gamma} f(z) dz, \quad (2.5)$$

其中  $\int_{-\gamma}$  指的是沿曲线的反向积分, 即此时的积分起点为  $\gamma(b)$ , 积分终点为  $\gamma(a)$ 。

**例 2.2** 沿  $z = 0$  到  $z = 1 + i$  的直线计算  $\int_{\gamma} z^2 dz$ 。

**例 2.3** 沿  $z = 0$  到  $z = 1 + i$  的直线计算  $\int_{\gamma} \bar{z} dz$ 。

**例 2.4** 沿单位圆逆时针 (通常也称为正定向) 计算  $\int_C z^2 dz$ 。

**例 2.5** 沿单位圆逆时针计算  $\int_C z^{-1} dz$ 。

关于围道积分我们有如下不等式

$$\left| \int_{\gamma} f(z) dz \right| \leq \int_{\gamma} |f(z)| \cdot |dz| \leq ML, \quad (2.6)$$


其中  $M$  是  $|f(z)|$  在  $\gamma$  上的极大值,  $L = \int_{\gamma} |dz|$  是  $\gamma$  的长度。第二个不等式是显然的, 我们只证明第一个不等式。令

$$\theta = \arg \left[ \int_{\gamma} f(z) dz \right]. \quad (2.7)$$


则

$$\begin{aligned} \left| \int_{\gamma} f(z) dz \right| &= \operatorname{Re} \left[ e^{-i\theta} \int_{\gamma} f(z) dz \right] \\ &= \int_{\gamma} \operatorname{Re} \left[ e^{-i\theta} f(z) dz \right] \\ &\leq \int_{\gamma} |f(z) dz| \\ &= \int_{\gamma} |f(z)| \cdot |dz|. \end{aligned} \quad (2.8)$$


证毕。

 **练习 2.1** 计算正定向围道积分

$$\int_{|z|=2} \frac{dz}{z^2 - 1}.$$

 **练习 2.2** 计算正定向围道积分

$$\int_{|z|=1} = |z - 1| \cdot |dz|.$$

 **练习 2.3** 设  $f(z)$  在单连通区域  $D$  内解析且处处满足  $|f(z) - 1| < 1$ 。证明对  $D$  中的任意封闭曲线  $C$  有

$$\int_C \frac{f'(z)}{f(z)} dz = 0.$$

(假设  $f'(z)$  连续)。

## 2.2 复线积分的基本定理

单变量微积分的基本定理将函数积分通过原函数的差表示,

$$\int_a^b f(x)dx = F(b) - F(a), \quad (2.9)$$

其中  $F(x)$  是  $f(x)$  的原函数,  $F'(x) = f(x)$ . 复线积分也有类似的基本定理:

### 定理 2.2. 复线积分的基本定理

$f(z)$  是区域  $D$  上的解析函数,  $\gamma$  是  $D$  上从  $z_0$  到  $z_1$  的曲线,  $f(z)$  在  $D$  上的原函数为  $F(z)$ , 即  $F'(z) = f(z)$ , 则

$$\int_{\gamma} f(z)dz = F(z_1) - F(z_0). \quad (2.10)$$

证明: 等式左边可以写为

$$\begin{aligned} \int_{\gamma} F'(z)dz &= \int_a^b F'(\gamma(t))\gamma'(t)dt \\ &= \int_a^b \frac{dF(\gamma(t))}{dt}dt \\ &= F(\gamma(b)) - F(\gamma(a)) \\ &= F(z_1) - F(z_0). \end{aligned} \quad (2.11)$$

证毕。有了这个定理, 我们之前的一些例子可以用这个定理直接得到答案。

### 定理 2.3. 解析函数积分的路径独立性

如果解析函数在区域  $D$  内解析且有原函数, 则复线积分

$$\int_{\gamma} f(z)dz$$

的取值只依赖于  $\gamma$  的端点, 而与  $\gamma$  的具体形状无关。

这个定理是显然的。进一步我们有如下定理:

### 定理 2.4. 路径独立和闭围道积分退化的等价性

如下两个命题等价:

1. 复线积分  $\int_{\gamma} f(z)dz$  是路径独立的。
2. 对于任何封闭围道  $C$ ,  $\int_C f(z)dz = 0$ 。

**例 2.6** 计算下述积分, 其中积分路径沿单位圆周正向 (逆时针)。

$$\text{a) } \int_{|z|=1} \frac{1}{z^n} dz, \quad n \in \mathbb{Z}, \quad \text{b) } \int_{|z|=1} \ln z dz,$$

其中第二个积分定义在主值分支内。

下述定理是本节的主要定理。

**定理 2.5. 柯西定理**

如果  $f(z)$  是单连通区域  $D$  上的解析函数,  $C$  是  $D$  上的任意封闭围道, 则有

$$\int_C f(z)dz = 0. \quad (2.12)$$



关于这个定理的证明有不同的方法。第一种方法利用平面积分的格林定理, 需要假定  $f(z)$  的一阶导数连续。更绝妙的方法是 Goursat 的证明, 其中不需要假定导数连续, 而且  $D$  可以是闭区域。我们先看利用格林定理的证明。为此我们先回忆格林定理:

**定理 2.6. 格林定理**

$C$  是平面上的正定向封闭曲线,  $D$  是  $C$  所包围的区域,  $L(x, y)$  和  $M(x, y)$  在包含  $C$  及其内部的某个区域上的偏导数存在且连续, 则

$$\int_C (Ldx + Mdy) = \iint_D \left( \frac{\partial M}{\partial x} - \frac{\partial L}{\partial y} \right) dxdy.$$



关于格林定理有一个物理的理解。把积分左侧写成

$$\int_C \vec{v} \cdot d\vec{s}, \quad (2.13)$$

其中  $\vec{v}(x, y) = (L(x, y), M(x, y))$  是一个流速场,  $d\vec{s} = (dx, dy)$  是流线微元。因此这个积分的物理意义可以看成是某种宏观速度场的闭曲线积分。如果想象宏观速度场是由无穷多小的涡旋构成, 则这个线积分也能写成这些小的涡旋的面积分, 或者更准确说是速度场的旋度的面积分,

$$\int_C \vec{v} \cdot d\vec{s} = \iint_D (\text{curl} \vec{v}) dxdy, \quad (2.14)$$

其中

$$\text{curl} \vec{v} = \begin{vmatrix} \partial_x & \partial_y \\ L & M \end{vmatrix} = M_x - L_y. \quad (2.15)$$

有了格林定理后, 柯西定理的证明顺理成章。

证明 (柯西定理): 令  $f(z) = u(x, y) + iv(x, y)$ ,  $z = x + iy$ , 则

$$\begin{aligned} \int_C f(z)dz &= \int_C (u + iv)(dx + idy) \\ &= \int_C (u dx - v dy) + i \int_C (u dy + v dx) \\ &\stackrel{\text{格林定理}}{=} \iint_D (-u_y - v_x) dxdy + i \iint_D (u_x - v_y) dxdy \\ &\stackrel{\text{柯西-黎曼方程}}{=} 0. \end{aligned} \quad (2.16)$$

其中二重积分的区域是  $C$  的内部。定理得证。

下面我们给出 Goursat 对柯西定理的绝妙证明。这个证明的强大之处在于无须用到函数导数的连续性条件<sup>1</sup>。因此这个定理人们也称作 Cauchy-Goursat 定理。事实上, Goursat 证明的并非一般的封闭围道, 而是一个矩形围道。我们下面的证明针对的也是矩形围道。

<sup>1</sup>事实上, 柯西一直想给出一个不用到导数连续性的证明, 但直到柯西去世时这个证明也还没找到。这个证明直到 Goursat 出现才找到。巧合的是, Goursat 出生在柯西去世后的一年。

当然, 有了矩形围道和三角形围道后可以构造出任意围道。

证明 (柯西-Goursat 定理): 我们考虑由如下不等式定义的矩形闭区域  $R$

$$a \leq x \leq b, \quad c \leq y \leq d.$$

矩形的边界线记为  $\partial R$ 。我们的积分围道即沿着  $\partial R$  正向绕行。我们要证明的柯西-Goursat 定理是对于  $R$  上的解析函数  $f(z)$ , 有

$$\int_{\partial R} f(z) dz = 0.$$

我们定义

$$\eta(R) = \int_{\partial R} f(z) dz. \quad (2.17)$$

将  $R$  等分为四个更小的矩形, 记为  $R^{(1)}, R^{(2)}, R^{(3)}, R^{(4)}$ 。此时原积分可以写为

$$\eta(R) = \eta(R^{(1)}) + \eta(R^{(2)}) + \eta(R^{(3)}) + \eta(R^{(4)}). \quad (2.18)$$

由三角不等式有

$$|\eta(R)| \leq |\eta(R^{(1)})| + |\eta(R^{(2)})| + |\eta(R^{(3)})| + |\eta(R^{(4)})| \leq 4|\eta(R^{(k)})|, \quad (2.19)$$

其中  $\eta(R^{(k)})$  是四个小矩形的绝对值中最大的一个。我们得到不等式

$$|\eta(R^{(k)})| \geq \frac{1}{4} |\eta(R)|. \quad (2.20)$$

我们选取  $R^{(k)}$  继续这个四等分过程, 并再从中选取一个绝对值最大的矩形, 然后再把四等分过程无限进行下去。这个过程给出一个不断缩小的矩形序列:  $R \supset R_1 \supset R_2 \supset R_3 \cdots \supset R_n \supset \cdots$ 。这个序列满足

$$\eta(R_n) \geq \frac{1}{4} \eta(R_{n-1}),$$

或

$$\eta(R_n) \geq \frac{1}{4^n} \eta(R). \quad (2.21)$$

这个无穷矩形序列收敛于一个点  $z_0$ ,

$$\{z_0\} = \cap_{n=1}^{\infty} R_n.$$

$f(z)$  在  $z_0$  可导给出条件

$$\lim_{z \rightarrow z_0} \frac{f(z) - f(z_0)}{z - z_0} = f'(z_0). \quad (2.22)$$

我们回忆这个极限的定义是对于任意  $\epsilon > 0$ , 总是存在  $\delta > 0$ , 使得当  $|z - z_0| < \delta$  时, 有

$$\left| \frac{f(z) - f(z_0)}{z - z_0} - f'(z_0) \right| < \epsilon, \quad (2.23)$$

或者写成

$$|f(z) - f(z_0) - f'(z_0)(z - z_0)| < \epsilon |z - z_0|. \quad (2.24)$$

对于沿序列中第  $n$  个矩形  $R_n$  边界线的积分有

$$\int_{\partial R_n} dz = 0, \quad \int_{\partial R_n} z dz = 0. \quad (2.25)$$

这两个等式可以通过直接线积分或从原函数得到。利用这两个结果我们有

$$\eta(R_n) = \int_{\partial R_n} f(z) dz = \int_{\partial R_n} [(f(z) - f(z_0)) - f'(z_0)(z - z_0)] dz. \quad (2.26)$$

利用(2.24)中的不等式我们得到对于任意小的  $\epsilon$ ，我们总能找到  $n$  使得

$$\eta(R_n) < \epsilon \int_{\partial R_n} |z - z_0| \cdot |dz| \leq \epsilon d_n L_n, \quad (2.27)$$

其中  $d_n$  是  $R_n$  的对角线长度， $L_n$  是  $\partial R_n$  的长度，满足

$$d_n = \frac{1}{2^n} d, \quad L_n = \frac{1}{2^n} L, \quad (2.28)$$

其中  $d$  是  $R$  的对角线长度， $L$  是  $\partial R$  的长度。综上我们有不等式

$$\eta(R_n) < \epsilon \frac{1}{4^n} dL. \quad (2.29)$$

与(2.21)结合我们得到

$$\epsilon \frac{1}{4^n} dL > \frac{1}{4^n} \eta(R). \quad (2.30)$$

或

$$\epsilon dL > \eta(R). \quad (2.31)$$

由于  $\epsilon$  可以任意小，而  $d$  和  $R$  有限，因此必有

$$\eta(R) = 0. \quad (2.32)$$

得证。

**例题 2.1** 思考如何从矩形和三角形的柯西定理得到任意封闭曲线的柯西定理。

事实上，单连通区域中的柯西定理可以表述为下述等价命题：

### 定理 2.7. 单连通区域中的柯西定理

设  $D$  是单连通区域， $f(z)$  在  $D$  上解析， $C$  是  $D$  上任意封闭曲线，则下述命题等价：

1.  $\int_C f(z) dz = 0$ 。
2.  $f(z)$  在  $D$  上的任意复线积分都是路径独立的。
3.  $f(z)$  在  $D$  上有原函数。



关于这三个命题的等价性证明此处从略。

### 定理 2.8. 复连通区域上的柯西定理

设  $D$  是复连通区域，其边界为  $\partial D = C_1 \cup C_2 \cdots \cup C_n$ 。  $f(z)$  在  $D$  上解析。则

$$\int_{C_1 + C_2 + \cdots + C_n} f(z) dz = 0, \quad (2.33)$$

其中积分路径沿这  $C_k$  的正定向。



**注** 沿着某个围道积分的过程中，如果解析区域总是在前进方向的左手边，则称为正定向。

柯西得到柯西定理的一个重要动机是用其来求积分。我们看一些例子。一些常见的积分围道。

**例 2.7** 证明:

$$e^{-\pi\xi^2} = \int_{-\infty}^{\infty} e^{-\pi x^2} e^{-2\pi i x \xi} dx. \quad (2.34)$$

**例 2.8** 证明

$$\int_0^{\infty} \frac{1 - \cos x}{x^2} dx = \frac{\pi}{2}. \quad (2.35)$$

### 定理 2.9. 复连通区域上的柯西定理

设  $D$  是  $\mathbb{C}$  上的复连通区域,  $C_1, C_2, \dots, C_n$  是  $D$  上的闭曲线,  $R$  是  $C_1, C_2, \dots, C_n$  所包围的区域,  $f(z)$  在  $R$  上解析, 定义沿围道  $C_k$  前进时  $R$  在  $C_k$  的左侧为正定向, 则下述正定向积分为零,


$$\int_{C_1+C_2+\dots+C_n} f(z) dz = 0. \quad (2.36)$$



 **练习 2.4** 计算

$$\int_{\gamma} \frac{1}{z^2} dz,$$

其中积分围道是从  $z=0$  到  $z=1+i$  的直线。

 **练习 2.5** 证明当  $|a| < r < |b|$  时,

$$\int_{|z|=r} \frac{1}{(z-a)(z-b)} dz = \frac{2\pi i}{a-b},$$

其中积分围道取正定向。

 **练习 2.6** 计算


$$\int_{|z|=2} \frac{dz}{z^2 + 1}.$$

 **练习 2.7** 计算

$$\int_{|z|=r} \frac{|dz|}{|z-a|^2}.$$

且  $r \neq |a|$ 。提示: 由方程  $z\bar{z} = r^2$  有

$$|dz| = -ir \frac{dz}{z}.$$

 **练习 2.8** 证明菲涅尔积分公式:

$$\int_0^{\infty} \sin(x^2) dx = \int_0^{\infty} \cos(x^2) dx = \frac{\sqrt{2\pi}}{4}.$$

## 2.3 柯西积分公式

柯西积分公式是解析函数理论的核心内容。如果学完这门课有什么一定要记住的话, 柯西积分公式必居其中。

**定理 2.10. 柯西积分公式**

设  $f(z)$  是单连通区域  $D$  上的解析函数,  $C$  是  $D$  上任意封闭曲线,  $z_0$  是  $C$  所包裹区域内的任意内点。则

$$f(z_0) = \frac{1}{2\pi i} \int_C \frac{f(z)}{z - z_0} dz, \quad (2.37)$$

其中积分围道沿  $C$  的正定向。

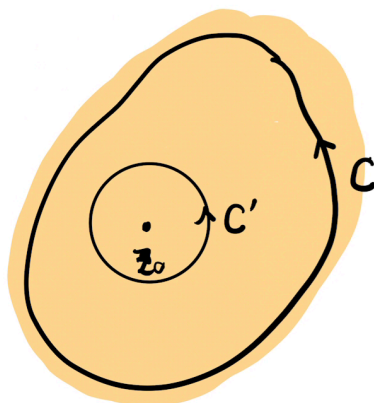


图 2.1: 证明柯西积分公式的围道

证明: 取图 2.1 中围道  $C$  和  $C'$ , 其中  $C'$  是以  $z_0$  为圆心的任一小圆。被积函数  $f(z)/(z - z_0)$  在  $C$  和  $C'$  所包裹的区域内解析, 由复连通区域的柯西公式有

$$\int_{C-C'} \frac{f(z)}{z - z_0} dz = 0 = \int_C \frac{f(z)}{z - z_0} dz - \int_{C'} \frac{f(z)}{z - z_0} dz, \quad (2.38)$$

换句话说

$$\int_C \frac{f(z)}{z - z_0} dz = \int_{C'} \frac{f(z)}{z - z_0} dz. \quad (2.39)$$

不妨将  $C'$  取作

$$C'(t) = z_0 + \varepsilon e^{it}, \quad 0 \leq t \leq 2\pi, \quad (2.40)$$

并让  $\varepsilon \rightarrow 0$ 。由复线积分的定义有

$$\begin{aligned} \int_{C'} \frac{f(z)}{z - z_0} dz &= \lim_{\varepsilon \rightarrow 0} \int_0^{2\pi} \frac{f(z_0 + \varepsilon e^{it})}{\varepsilon e^{it}} \varepsilon i e^{it} dt \\ &= \int_0^{2\pi} f(z_0) i dt \\ &= 2\pi i f(z_0), \end{aligned} \quad (2.41)$$

即

$$f(z_0) = \frac{1}{2\pi i} \int_{C'} \frac{f(z)}{z - z_0} dz, \quad (2.42)$$

因此柯西公式得证。

**例 2.9** 计算正定向围道积分

$$\int_{|z|=1} \frac{e^z}{z} dz, \quad \int_{|z|=2} \frac{dz}{z^2 + 1}.$$

柯西公式的一个强大之处在于将  $f(z_0)$  的  $z_0$  依赖关系用很简单的代数函数表示出来

了, 不管  $f(z)$  是多复杂的函数。例如, 我们可以从中得到如下重要结论:

### 定理 2.11. 柯西求导公式

设  $f(z)$  是区域  $D$  上的解析函数,  $z_0$  是  $D$  上的内点,  $C$  是将  $z_0$  包裹在内的任意封闭曲线,  $f(z)$  在  $D$  上无穷次可导, 且  $n$  阶导数可以写为

$$f^{(n)}(z_0) = \frac{n!}{2\pi i} \int_C \frac{f(z)}{(z - z_0)^{n+1}} dz. \quad (2.43)$$



证明: 我们用归纳法进行证明。  $n = 0$  的情形直接对应柯西积分公式, 因此无须再证明。设(2.43)对于  $n - 1$  阶导数成立, 即

$$f^{(n-1)}(z_0) = \frac{(n-1)!}{2\pi i} \int_C \frac{f(z)}{(z - z_0)^n} dz, \quad (2.44)$$

我们要证明第  $n$  阶导数也成立而且可以写成式(2.43)的形式。从导数的定义出发我们有

$$\begin{aligned} f^{(n)}(z_0) &= \lim_{h \rightarrow 0} \frac{f^{(n-1)}(z_0 + h) - f^{(n-1)}(z_0)}{h} \\ &= \lim_{h \rightarrow 0} \frac{(n-1)!}{2\pi i h} \int_C f(z) \left( \frac{1}{(z - z_0 - h)^n} - \frac{1}{(z - z_0)^n} \right) dz \\ &= \lim_{h \rightarrow 0} \frac{(n-1)!}{2\pi i h} \int_C f(z) \left( \frac{(z - z_0)^n - (z - z_0 - h)^n}{(z - z_0 - h)^n (z - z_0)^n} \right) dz. \end{aligned} \quad (2.45)$$

利用

$$A^n - B^n = (A - B)(A^{n-1} + A^{n-2}B + A^{n-3}B^2 + \cdots + B^{n-1}). \quad (2.46)$$

我们有

$$\begin{aligned} f^{(n)}(z_0) &= \lim_{h \rightarrow 0} \frac{(n-1)!}{2\pi i h} \int_C f(z) \frac{h[(z - z_0)^{n-1} + (z - z_0)^{n-2}(z - z_0 - h) + \cdots + (z - z_0 - h)^{n-1}]}{(z - z_0)^n (z - z_0 - h)^n} dz \\ &= \frac{n!}{2\pi i} \int_C \frac{f(z)}{(z - z_0)^{n+1}} dz. \end{aligned} \quad (2.47)$$

得证。这个结果告诉我们, 解析函数一定是无穷次可导的。对于实变量函数这个结论不成立。

**例 2.10** 计算

$$\int_{|z|=1} \frac{e^z}{z^n} dz.$$

从柯西积分公式出发可以得到许多有趣的结果。

### 推论 2.1. 柯西估计

设  $f(z)$  在区域  $D$  上解析, 以  $z_0$  为圆心, 半径为  $R$  的圆盘在  $D$  上, 则

$$|f^{(n)}(z_0)| \leq \frac{n! \|f\|_C}{R^n}, \quad (2.48)$$

其中  $C$  是圆盘边界,  $\|f\|_C = \sup_{z \in C} |f(z)|$  是  $f(z)$  在  $C$  的最小上确界。





证明：由柯西积分公式可知，

$$\begin{aligned} |f^{(n)}(z_0)| &= \frac{n!}{2\pi} \left| \int_C \frac{f(z)}{(z-z_0)^{n+1}} dz \right| \\ &= \frac{n!}{2\pi} \left| \int_0^{2\pi} \frac{f(z_0 + Re^{it})}{(Re^{it})^{n+1}} Re^{it} dt \right| \\ &\leq \frac{n!}{2\pi} \frac{\|f\|_C}{R^n} 2\pi. \end{aligned} \quad (2.49)$$

证毕。当  $n=0$  时，有

$$|f(z_0)| \leq \|f\|_C, \quad (2.50)$$

由柯西估计我们立刻得到

### 定理 2.12. 最大模原理

设  $f(z)$  在区域  $D$  上解析。如果  $f(z)$  不是常函数，则  $|f(z)|$  在  $D$  上没有最大值。 

证明：利用反证法，设  $z_0$  是  $D$  上一点， $|f(z_0)|$  在  $D$  上取最大值。我们想要证明这是  $f(z)$  一定是常函数。我们以  $z_0$  为圆心取一半径为  $r$  的小圆  $C$ ，使得  $C$  也在  $D$  上。令  $z = z_0 + re^{i\varphi}$ ，由柯西积分公式我们有

$$\begin{aligned} f(z_0) &= \frac{1}{2\pi i} \int_C \frac{f(z)}{z-z_0} dz \\ &= \frac{1}{2\pi i} \int_0^{2\pi} \frac{f(z_0 + re^{i\varphi})}{re^{i\varphi}} rie^{i\varphi} d\varphi \\ &= \frac{1}{2\pi} \int_0^{2\pi} f(z_0 + re^{i\varphi}) d\varphi. \end{aligned} \quad (2.51)$$

左边取绝对值后有不等式

$$|f(z_0)| \leq \frac{1}{2\pi} \int_0^{2\pi} |f(z_0 + re^{i\varphi})| d\varphi. \quad (2.52)$$

由我们的假设应有


$$|f(z_0)| \geq |f(z_0 + re^{i\varphi})|. \quad (2.53)$$

为了使这两个不等式(2.52)和(2.53)同时成立，(2.53)中的严格大于号只可能对孤立的  $\varphi$  值成立。但又由连续性可知，如果有某个  $\varphi_0$  使得

$$|f(z_0)| > |f(z_0 + re^{i\varphi_0})|, \quad (2.54)$$

则必然存在某个包含  $\varphi_0$  的开区间  $(\varphi_0 - \varepsilon, \varphi_0 + \varepsilon)$ ，使得(2.54)在这个区间内都成立。因此我们得到结论(2.53)中的大于号不能取到，从而  $f(z)$  只能是常函数。证毕。

### 定理 2.13. 刘维定理

定义在整个复平面上的有界解析函数必然是常函数。 

证明：设  $f(z)$  是  $\mathbb{C}$  上的解析函数且  $f(z) \leq M$ 。对任意  $z_0 \in \mathbb{C}$ ，以  $z_0$  为圆心作以半径为  $R$  的圆，由柯西估计有

$$|f'(z_0)| \leq \frac{M}{R}, \quad (2.55)$$

令  $R \rightarrow \infty$ , 则得到

$$|f'(z_0)| = 0. \quad (2.56)$$

由于  $z_0$  是任意一点, 因此  $f(z)$  在  $\mathbb{C}$  上的导数处处为零, 因此必然是常函数。

由刘维定理立刻可以得到代数学基本定理的一个简单证明。

#### 定理 2.14. 代数学基本定理

$P_n(z)$  是  $n$  次 ( $n > 0$ ) 复系数多项式函数,

$$P_n(z) = c_0 + c_1 z + c_2 z^2 + \cdots + c_n z^n, \quad (2.57)$$

则  $P_n(z)$  在  $\mathbb{C}$  中必有一个根。



证明: 用反证法, 设  $P_n(z)$  在  $\mathbb{C}$  上没有根。考虑函数

$$f(z) = \frac{1}{P_n(z)}. \quad (2.58)$$

显然  $f(z)$  在  $\mathbb{C}$  上解析。且由于

$$\lim_{z \rightarrow \infty} f(z) = 0, \quad (2.59)$$

因此  $f(z)$  是  $\mathbb{C}$  上的有界函数。由刘维定理可得  $f(z)$  是常函数。但  $f(z)$  显然不是常函数, 因此  $P_n(z)$  必有根, 得证。

#### 练习 2.9 计算积分

$$\int_{|z|=2} z^n (1-z)^m d\Omega$$

其中  $n, m$  是整数。

#### 练习 2.10 计算积分

$$\int_{|z|=r} \frac{|dz|}{|z-a|^4}, \quad |a| \neq r.$$

练习 2.11 (a)  $f(z)$  在包含半径为  $R_0$ , 圆心在原点的圆盘的某个区域上解析。证明当  $R < R_0$ , 且  $|z| < R$  时,

$$f(z) = \frac{1}{2\pi} \int_0^{2\pi} f(Re^{i\varphi}) \operatorname{Re} \left( \frac{Re^{i\varphi} + z}{Re^{i\varphi} - z} \right) d\varphi.$$

(b) 证明

$$\operatorname{Re} \left( \frac{Re^{i\theta} + r}{Re^{i\theta} - r} \right) = \frac{R^2 - r^2}{R^2 - 2Rr \cos \theta + r^2}.$$

练习 2.12 设  $u(r, \varphi)$  是单位圆盘上的调和函数, 因此是某个单位圆盘上解析的复函数的实部 (或虚部)。用柯西积分公式证明其具有如下积分表示:

$$u(r, \theta) = \frac{1}{2\pi} \int_0^{2\pi} P_r(\theta - \varphi) u(1, \varphi) d\varphi$$

其中

$$P_r(\gamma) = \frac{1 - r^2}{1 - 2r \cos \gamma + r^2}.$$

这个积分表示称为泊松积分表示。

## 第3章 复分析和流体力学

给定一个解析函数  $f(z) = u + iv$ , 我们知道  $u$  和  $v$  是调和函数, 满足

$$(\partial_x^2 + \partial_y^2)u = 0, \quad (\partial_x^2 + \partial_y^2)v = 0, \quad (3.1)$$

或

$$\partial_z \partial_{\bar{z}} u = 0, \quad \partial_z \partial_{\bar{z}} v = 0. \quad (3.2)$$

同时, 调和函数是物理和工程中经常碰到的函数, 出现在流体力学, 静电和静磁学, 热传导等等。这一章以流体力学为例简介复变函数的应用。

### 3.1 定常不可压缩势流

流体力学的研究可以部分归结为对流速场的研究。对于二维平面流体, 流速场可以记为

$$\vec{V}(x, y) = (u(x, y), v(x, y)). \quad (3.3)$$

这里  $u$  和  $v$  是速度场的  $x$  和  $y$  分量。定常体现为速度场不含时间依赖。不可压缩性要求流体流动时体积不发生显著的压缩或膨胀。用数学公式可以表示为

$$\operatorname{div} \vec{V} := \partial_x u + \partial_y v = 0. \quad (3.4)$$

上式左边称作  $\vec{V}$  的散度。散度的物理意义可以通过通量理解。给定一条封闭曲线  $C$ , 流线经过  $C$  的通量定义为

$$\operatorname{Flux}(C) := \int_C \vec{V} \cdot \vec{n} ds, \quad (3.5)$$

其中  $\vec{n}$  是  $C$  上线元的单位法向量, 方向由  $C$  的内部指向外部。由格林定理, 这又可以写为

$$\int_C \vec{V} \cdot \vec{n} ds = \iint \operatorname{div} \vec{V} dx dy. \quad (3.6)$$

如果  $\operatorname{Flux}(C) > 0$ , 表明不断有流体从  $C$  的内部流出, 因此不是不可压缩流体。同样, 如果  $\operatorname{Flux}(C) < 0$ , 表明不断有流体流进  $C$  的内部。

**例 3.1** 令

$$\vec{V} = \left( \frac{x}{x^2 + y^2}, \frac{y}{x^2 + y^2} \right),$$

$\vec{V}$  在原点之外处处散度为零。但在原点处  $\vec{V}$  没有定义, 因此其散度也没有定义。

流速场在某一点处的旋度记为

$$\operatorname{curl} \vec{V} := \partial_x v - \partial_y u. \quad (3.7)$$

势流定义为在空间中流速场的旋度处处为零的流。物理上理解, 如果在放置一片树叶在流体上, 随着流体的流动树叶没有发生自旋的话就对应了势场。

**例 3.2** 涡旋 (Eddy) 定义

$$\vec{V} = \left( \frac{-y}{x^2 + y^2}, \frac{x}{x^2 + y^2} \right).$$

注意 Eddy 是在除原点外是处处无旋的。

**注** 一个典型的有旋流体是层流, 例如

$$\vec{V} = (y^2, 0).$$

我们下面讨论的都是不可压缩势流。按照上面散度和旋度为零的定义我们有

$$0 = \partial_x u + \partial_y v, \quad 0 = \partial_x v - \partial_y u. \quad (3.8)$$

这个结果与柯西-黎曼方程非常接近, 仅差一个负号。我们立刻得到如下定义的函数

$$g(z) = u - iv \quad (3.9)$$

是解析函数。由柯西定理知道, 在  $g(z)$  的解析区域内必定存在其原函数, 记为

$$\Phi(z) = \varphi + i\psi, \quad (3.10)$$

且  $\Phi'(z) = g(z)$ 。我们把  $\varphi$  称作流速场的势函数, 把  $\psi$  称作流函数, 把  $\Phi$  称作复势, 把  $\Phi'$  称作复速度。我们有

$$\begin{aligned} \Phi'(z) &= \partial_x \varphi + i \partial_x \psi \\ &\stackrel{\text{C-R}}{=} \partial_x \varphi - i \partial_y \varphi \\ &= u - iv, \end{aligned} \quad (3.11)$$

因此

$$\nabla \varphi := (\partial_x \varphi, \partial_y \varphi) = (u, v) = \vec{V}, \quad (3.12)$$

即  $\varphi$  的梯度正好给出流速。

**例 3.3** 已知流体速度场

$$\vec{V} = \left( \frac{x}{x^2 + y^2}, \frac{y}{x^2 + y^2} \right),$$

求复势函数。

下面我们解释为什么将  $\psi$  称作流函数。我们前面证明过, 作为一对共轭函数,

$$\varphi(x, y) = C_1, \quad \psi(x, y) = C_2$$

所定义的等高线互相垂直。另外由多变量微积分我们知道  $\nabla \varphi$  与  $\varphi$  的等高线垂直。为了看出这一点, 我们参数化某一条  $\varphi$  的等高线为

$$\gamma(t) : (x(t), y(t)), \quad a \leq t \leq b. \quad (3.13)$$

则

$$\varphi(x(t), y(t)) = C_1. \quad (3.14)$$

由微积分的链式法则我们得到

$$\begin{aligned} 0 &= \frac{d\varphi(x(t), y(t))}{dt} \\ &= \frac{\partial \varphi}{\partial x} \frac{dx}{dt} + \frac{\partial \varphi}{\partial y} \frac{dy}{dt} \\ &= (\partial_x \varphi, \partial_y \varphi) \cdot \left( \frac{dx}{dt}, \frac{dy}{dt} \right), \end{aligned} \quad (3.15)$$

而  $(dx/dt, dy/dt)$  刚好是等高线的切线方向, 因此梯度与等高线垂直。因此我们得到结论,  $\vec{V}$ ,  $\nabla \varphi$ ,  $\psi$  的等高线互相平行。因此求出  $\psi$  的等高线也就求出了流体的流线。这正是流函数这一名字的来源。

**例 3.4** 已知复势函数  $\Phi(z) = (a + ib)z$ , 求速度场和流线。

**例 3.5** 已知复势函数  $\Phi(z) = \text{Ln} z$ , 求速度场和流线。

**例 3.6** 已知复势函数  $\Phi(z) = i \text{Ln} z$ , 求速度场和流线。

流速为零的点成为驻点。由

$$\Phi'(z) = \partial_x \varphi - i \partial_y \varphi = u - iv \quad (3.16)$$

知道, 在驻点亦即  $\Phi'(z) = 0$  的点。

**例 3.7** 求出  $\Phi(z) = z^2$  的流线和驻点。

**例 3.8** 已知复势函数  $\Phi(z) = \text{Ln}(z - 1) + \text{Ln}(z + 1)$ , 画出驻点和流线。

复分析方法常被用来处理定常不可压缩势流绕固体边界的流动问题。用复势处理这类问题的简便之处在于, 流线在固体的边界处的指向应与边界的切线一致。换言之, 绕流固体的边界曲线本身就是一条流线, 因此  $\Psi$  在固体边界处应为常数。不失一般性, 可以设这个常数为零。这样给定边界线的绕流问题转化为寻找这样一个复势函数  $\Phi(z)$ , 使得其在给定边界上取实数值。

**例 3.9** 无穷远处的均匀流体流经一个圆形边界的复势由下式给出

$$\Phi(z) = z\bar{U} + \frac{R^2}{z}U,$$

其中  $R$  是圆的半径。